





دانشگاه پیام نور

دانشکده علوم پایه
مرکز شرق تهران

پایان نامه

برای دریافت درجه کارشناسی ارشد

رشته فیزیک

گروه علمی فیزیک

اثر برهم کنش الکترون - فونون بر تراویر الکتریکی از یک تک مولکول

فائزه ایزدپناه

استاد راهنما:

دکتر علیرضا صفارزاده

تابستان ۱۳۹۰

تقدیم به

خدایی که آفرید

جهان را، انسان را، عقل را، معرفت را، عشق را بکسانی که عشقشان را در وجود نمید.

تقدیم به

پدر و مادر عزیزم

که وجودم برایشان بهمنج بود و وجودشان برایم بهم مهر و امید
تقدیم به آنها پات آنچه که دارم و هستم و عذر تصریبیات آنچه که ندارم و نیشم.

تقدیم به

خواهر عزیزم شادروان

مهند فرزانه از زدن

اقیانوس بی کران عشق و فدکاری که با دعای خیرش مردانجام این محظی تناگلداشت.

و تقدیم به

تمام آزاد مردانی که نیک می اند شدو عقل و منطق را پیشه خود نموده و جزر رضای الهی و پیشرفت و سعادت جامعه، بدفنی ندارند.

مشکر و قدردانی

پاس بی کران پروردگار یکتا را که هستی مان بخشد و به طریق علم و دانش رسمونمان شد و به نهشی رهوان علم و دانش متنفسان نمود و خوش چینی از علم و معرفت را روزیان ساخت. پاس مخصوص خداوند میربان که ب انسان تو نمایی و دانایی بخشد تا بین کاش شفقت و رزد، میربان گند و دل مشکلاتشان یاری شان نماید. از راحت خویش بکردو آسایش به نواعان را مقدم دارد، با او معامله کند و داین خلوص انباز گیردو خوش باشد که پروردگار سیع و بصیر است. پاس ایزدمنان که ب من این فرصت را داد تا به این مرحله از علم رسیده و از پیچ محبتی دین نکردو تمام مرال زنگیم مراقت قلب بود.

دیجابر خود لازم می دانم که از بهم استایید محترم و بزرگوارم درگروه فنیک و اسلکده علوم پایه و کیمی عزیزان و سروران ذیل صیمانه مشکر و قدردانی نموده و تونیت و سربلندی

ایشان را ایزدمنان طلب نایم:

◆ استاد بزرگوار و ارجمند جناب آقا دکتر علیرضا صفارزاده که راهنمایی این پایان نامه را قبول فرموده و بارا نمایی های ارزنده و کوچک ایشان مراد انجام این محض

یاری نموده و تمام مرال این مطالعه با سبر و حوصله و مسیمات از حضور ایشان بهره مند شده ام و از پیچ تلاشی جهت انجام این تحقیق دین نوزیده ام.

◆ استاد ارجمند جناب آقا دکتر علی اصغر مشکری که در طول دوران کارشناسی ارشد از محضر ایشان کسب علم نموده.

◆ استاد کارآئی دکتر ارشین نیزیان که داوری این پایان نامه را قبول فرموده.

◆ سرکار خانم دکتر یمانصری سپرست محترم مرکز تهران شرق

◆ کارکنان محترم پیام نور و دیوی و سرکار خانم مرادی، سرکار خانم بادله، سرکار خانم فرجی، جناب آقا فیضی، جناب آقا عزتی بر حاضر زحات بی دیغشان

◆ هنکلاسی ها و هنکاران و دوستان عزیزم برویه سرکار خانم مندس سازهای دینی و اسلامی، سرکار خانم مندس نیاز مهدی اصفهانی، سرکار خانم مندس نزک زارع دار

خداوند با توفيق تلاش در شکست، صبر و نویسیدی، رفقن بی بهراه، جهاد بی سلاح، کار بی پاداش، فداکاری در کشوت، دین بی دنیا، مذهب بی عوام، عظمت بی نام،

خدمت بی نان، ایمان بی ریا، خوبی بی نمود، کتابخانی بی خانی، مناعت بی غرور، عشق بی ہوس، تنهایی در آنبوه جمیعت و دوست داشتن بی آنکه دوست بداند، راغبات فرا

فائزه ایزدمنان

تماسان ۱۳۹۰

چکیده:

در این پایان نامه تأثیر ارتعاشات مولکولی روی تراپرد الکترونی از یک زنجیره اتمی از طلا که بین دو الکترود فلزی ساندویچ شده به روش تابع گرین غیرتعادلی کلدیش (روشی قدرتمند برای تحلیل تراپرد ناکشسان در حضور برهmeknesh الکترون- فونون) مورد تحقیق قرار گرفته است. اخیراً روش NEGF به طور موقیت آمیزی برای تراپردهای ناکشسان در نانوساختارهای مختلف به کار برده شده است از جمله سیم‌های اتمی و اتصالات مولکولی.

برای بدست آوردن مدهای فونونی از مدل کلاسیکی گلوله و فنر و برای جفت شدگی الکترون- فونون از مدل Su-Shrieffer-Heeger استفاده می‌شود. اثر نفوذ متقابل بین فونون و الکترون در فرآیند تونل زنی الکترون در یک تقریب کلی و جامع خودسازگار بورن در نظر گرفته شده است. نتایج نشان می‌دهد هنگامیکه ولتاژ بایاس با انرژی ارتعاشی خاصی جفت می‌شود، پله‌هایی در مشتق اول جریان نسبت به ولتاژ ظاهر می‌شوند. این رفتار در مشتق دوم جریان نسبت به ولتاژ، خود را بصورت تابع دلتا نشان می‌دهد. جریان ناکشسان در دماهای پایین صورت می‌پذیرد و در دماهای بالا الکترون نمی‌تواند فونونی را برانگیخته کند. هنگامیکه ولتاژ بایاس بزرگتر از انرژی برانگیختگی فونون است، الکترون بخشی از انرژی خود را از دست می‌دهد (گسیل) و یا بدست می‌آورد (جذب). رخ دادن جذب یا گسیل فونون به انرژی جفت شدگی الکترون- مولکول و انرژی جایگاهی اتمها در مولکول بستگی دارد. در محاسبات جریان ناکشسان، ما برهmeknesh الکترون- فونون ضعیف را به کار برده‌ایم. در انتهای نتایج در مورد مولکول بنزن نیز شکل‌هایی آورده شده است.

کلید واژه: برهmeknesh الکترون- فونون، رسانش الکتریکی، تابع گرین غیرتعادلی، تقریب خودسازگار بورن

فهرست مطالب

فصل اول: تراابرد کوانتمی براساس فرمول بندی تابع گرین غیرتعادلی

۱	۱-۱ مقدمه.....
۲	۲-۱ چگونگی شارش جریان.....
۳	۳-۱ جنبه کوانتمی رسانش.....
۶	۶.....
۱۰	۴ سیستم‌های باز.....
۱۸	۵-۱ تابع گرین و طول عمر.....
۲۱	۱-۵-۱ مفهوم فیزیکی خود انرژی.....

فصل دوم: به سوی الکترونیک مولکولی

۲۵	۱-۲ مقدمه.....
۲۸	۲-۲ رسانایی در مولکول‌های منفرد.....
۲۸	۱-۲-۲ میکروسکوپ تونلی رویشی.....
۳۰	۲-۲-۲ STM.....
۳۲	۱-۲-۲-۲ نگاهی اجمالی به اصول کلی عملکرد STM.....
۳۴	۲-۲-۲-۲ روش‌های مبتنی بر استفاده مستقیم از STM در تعیین مشخصات سطوح.....
۳۴	۳-۲-۲-۲ مد جریان ثابت.....
۳۶	۴-۲-۲-۲ مد ارتفاع ثابت.....
۳۷	۵-۲-۲-۲ مد نقشه برداری از تابع کار سطح.....
۳۷	۶-۲-۲-۲ تعیین نقشه "چگالی حالات انرژی الکترون‌ها" در نقاط مختلف سطح.....
۳۹	۷-۲-۲-۲ مد سنجش نقشه "ترازهای انرژی ارتعاشی الکترون‌ها" در نقاط مختلف سطح.....
۴۰	۳-۲-۲ STM-IETS.....
۴۱	۴-۲ تراابرد ناکشسان.....
۴۲	۵-۲ انگیزه و طرح کلی پایان نامه.....

فصل سوم: فرآیندهای عبور

۱-۳ تأثیر برخی مقیاس‌های طولی در فرآیند عبور.....	۴۵
۱-۱-۳ طول موج دوبروی.....	۴۵
۲-۱-۳ مسافت آزاد میانگین.....	۴۶
۳-۱-۳ طول واهلش فاز.....	۴۶
۲-۳ فرآیند عبور کلاسیک.....	۴۷
۳-۳ فرآیند عبور کوانتمویی.....	۴۸
۱-۳-۳ عبور بالیستیک.....	۴۸
۲-۳-۳ عبور پخشی.....	۵۰
۳-۳-۳: ضریب عبور و جریان در تراپرد همدووس.....	۵۰
۴-۳ تابع گرین سیم کوانتموی بی‌نهایت.....	۵۴
۵-۳ تابع گرین سیم کوانتموی نیم بی‌نهایت.....	۵۶

فصل چهارم: طیف سنجی تونل زنی ناکشسان الکترون

۱-۴ مقدمه.....	۵۹
۲-۴ قسمت تئوری طیف سنجی تونل زنی ناکشسان الکترون.....	۶۱

فصل پنجم: مدل تنگ بست برای تراپرد ناکشسانی در سیم‌های اتمی

۱-۵ مقدمه.....	۷۴
۲-۵ ارتعاشات زنجیره یک بعدی.....	۷۶
۲-۱-۵ مدهای نرمال ارتعاشی.....	۷۶
۲-۲-۵ تعیین میزان ارتعاشات.....	۷۹
۳-۵ مدل تنگ بست برای اربیتال‌های الکترونیک.....	۸۱

فصل ششم: شکل‌ها و نتایج

۱-۶ مقدمه.....	۸۴
۲-۶ پارامترها برای زنجیره طلا.....	۸۴
۳-۶ محاسبه مدارتعاشی و جفت شدگی الکترون- فونون.....	۸۵
۴-۶ جریان کشسان و جریان کل.....	۹۱
۵-۶ شکل‌های مشتق اول و مشتق دوم d^2I/dV^2 جریان ناکشسان.....	۹۱
۶-۶ تفاوت رسانندگی و مشتق دوم جریان با توجه به دو ثابت فنر $K=2$ و $K=4$	۱۱۱
۷-۶ مقایسه رسانندگی و مشتق دوم جریان برای سه اتم بین دو الکترود با افزایش دما.....	۱۱۵
۸-۶ بررسی چگونگی رخ دادن گسیل و جذب فونون.....	۱۲۰
۹-۶ رسانندگی و مشتق دوم جریان ناکشسان برای سه اتم بین دو الکترود برای تمام مدهای ارتعاشی.....	۱۲۳
۱۰-۶ رسانندگی و مشتق دوم جریان ناکشسان برای مولکول بنزن.....	۱۲۶
نتیجه‌گیری.....	۱۳۰
منابع.....	۱۳۱

فهرست شکل‌ها

شکل (۱-۱): ولتاژ بایاس اعمالی به سیستم پتانسیل شیمیایی در چاهک را نسبت به چشمہ پایین می‌آورد.....	۴
شکل (۲-۱): شارش الکترون به داخل و خارج کanal تک ترازی متصل به چشمہ و چاهک تصویر ساده‌ای از رابطه سرعت.....	۵
شکل (۳-۱): (a)، کanalی تک ترازی که با اعمال ولتاژ بایاس اختلاف بین پتانسیل شیمیایی چشمہ و چاهک اتفاق می‌افتد. (b)، پهن شدگی ترازها در فرآیند جفت شدگی کanal.....	۷
شکل (۴-۱): (a)، چگالی حالت‌ها قبل از اتصال. (b)، چگالی حالت‌ها پس از جفت شدگی.....	۸
شکل (۴-۵): کanal متصل به یک منبع. مجموعه‌ای از حالت‌های گستته به حالت‌های پیوسته تبدیل می‌شوند.....	۱۰
شکل (۶-۱): کanal با هامیلتونی $[H]$ با ماتریس جفت شدگی $[\tilde{\alpha}]$ به الکترود با هامیلتونی $[H_R]$ متصل شده است.....	۱۱
شکل (۷-۱): سیم کوانتمی نیم بی نهایت متصل به یک کanal.....	۱۲
شکل (۸-۱): (a)، کanal بدون الکترون جدا شده از الکترود در حالی که الکترون‌ها حالت‌های $\{\Phi_R\}$ را در الکترود اشغال کرده‌اند. (b)، توابع $\{\Phi_R\}$ ، پس از جفت شدگی داخل کanal پخش شده منجر به توابع $\{\psi_R\}$ می‌شوند.....	۱۴
شکل (۹-۱): نمایی از اندازه هر عنصر قطری توابع گرین تأخیری و پیش رونده در نمایش ویژه حالت‌ها و تابع طیفی در محدوده زمان.....	۲۰
شکل (۱۰-۱): ترازهای انرژی منبع در اتصال با کanal تک ترازی.....	۲۲
شکل (۱-۲): تصویری ساده از فرآیند تونل زنی کشسان و ناکشسان.....	۲۷
شکل (۲-۲): اندازه‌گیری رسانش با STM.....	۳۰
شکل (۳-۲): نمایش نمادین اجزای اصلی و اصول عملکرد دستگاه STM.....	۳۲
شکل (۴-۲): نمایش نمادین برقراری جریان.....	۳۳
شکل (۵-۲): مسیر سوزن در مدار جریان ثابت.....	۳۵
شکل (۶-۲): ساختار اتمی یک نانوتیوب تک جداره بدست آمده توسط STM.....	۳۵

.....	شکل (۷-۲): ساختار اتمی سطح سیلیکون بدست آمده توسط STM	۳۶
.....	شکل (۸-۲): مسیر سوزن در مد ارتفاع ثابت	۳۶
.....	شکل (۹-۲): نمودار مشتق اول جریان نسبت به ولتاژ	۳۸
.....	شکل (۱۰-۲): نمودار مشتق دوم جریان نسبت به ولتاژ بر حسب ولتاژ برای سه نقطه سطحی A و B و C (همانطور که دیده می شود در ماده A پیک های تراز های ارتعاشی مربوط به ترکیبات C-H دیده نمی شود).	۳۹
.....	شکل (۱۱-۲): اندازه گیری ها برای سیم های کوتاه و بلند	۴۱
.....	شکل (۱-۳): فرآیندهای مختلف پراکندگی	۴۹
.....	شکل (۲-۳): شارش الکترون ها به داخل و خارج کanal، مدل تراز مستقل	۵۱
.....	شکل (۳-۳): شار ورودی و شار خروجی برای یک دستگاه چند ترازی که تراز های انرژی آن توسط ماتریس هامیلتونی H و جفت شدگی آن با چشم و چاهک با به ترتیب ماتریس های خود انرژی Σ_1 و Σ_2 نشان داده می شود	۵۱
.....	شکل (۱-۴): تصویری از سیستمی با دو الکترود فلزی، یک مولکول در وسط و ولتاژ به کار برده شده بین دو الکترود چپ و راست	۶۰
.....	شکل سمت چپ: الکترون های متحرک انرژی کافی برای برانگیختن یک فونون را ندارند به همین دلیل تنها تونل زنی کشسان اتفاق می افتد.	
.....	شکل میانی: هنگامیکه ولتاژ بایاس بیشتر از الکtron ورودی باشد می تواند یک فونون را برانگیخته کند و تونل زنی ناکشسان اتفاق می افتد.	
.....	شکل سمت راست: الکترون های متحرک همچنین می توانند برانگیخته شوند و دوباره یک فونون جذب کنند که منجر به دومین مرتبه تونل زنی کشسان می شود.	
.....	شکل (۲-۴): شمایی از ساختار الکtron تونل زنی ناکشسان در مدل تک سطح	۶۰
.....	شکل (۳-۴): تغییر شیب در جریان نسبت به ولتاژ منجر به پله در مشتق اول جریان و قله در مشتق دوم جریان می شود	۶۱
.....	شکل (۱-۵): نمونه تصویری از الکtron مجاز در فرآیند پراکندگی در یک زنجیره نامحدود یک بعدی با مسافت درون اتمی a	۷۵

شکل (۲-۵): نمایش گرافیکی مدل گلوله‌ها و فنرها.....	۸۱
شکل (۳-۱): مدل گرافیکی گلوله و فنر با دو ثابت فنر متفاوت.....	۸۴
شکل (۲-۶): انرژی ارتعاشی سه مد فونونی.....	۸۷
شکل (۳-۶): انرژی ارتعاشی شش مد فونونی.....	۸۹
شکل (۴-۶): (الف) جریان کشسان. (ب) جریان کل.....	۹۱
شکل (۵-۶): ناحیه ارتعاشی ساندویچ شده بین دو الکترود.....	۹۲
شکل (۶-۶): تک تراز مولکولی ساندویچ شده بین دو الکترود.....	۹۳
شکل (۷-۶): (الف): رسانندگی (ب): مشتق دوم جریان نسبت به ولتاژ برای مد فونونی اول $\Omega_1 = \hbar\omega / 11.27 \text{ meV}$	۹۴
شکل (۸-۶): رسانندگی برای زمانی که $M=0$ (جفت شدگی بین الکترون و فونون ایجاد نشده است).....	۹۴
شکل (۹-۶): رسانندگی برای دو مد فونونی اول $\Omega_1 = 12.03 \text{ meV}$ و سوم $\Omega_3 = 4.98 \text{ meV}$ در دمای صفر درجه کلوین.....	۹۷
شکل (۱۰-۶): (الف): رسانندگی (ب): مشتق دوم جریان نسبت به ولتاژ برای مد فونونی اول $\Omega_1 = 12.03 \text{ meV}$	۹۷
شکل (۱۱-۶): رسانندگی برای دو مد فونونی اول $\Omega_1 = 12.38 \text{ meV}$ و سوم $\Omega_3 = 7.65 \text{ meV}$ در دمای صفر درجه کلوین.....	۹۹
شکل (۱۲-۶): (الف): رسانندگی (ب): مشتق دوم جریان نسبت به ولتاژ برای مد فونونی اول $\Omega_1 = 12.38 \text{ meV}$	۹۹
شکل (۱۳-۶): رسانندگی برای سه مد فونونی اول $\Omega_1 = 12.77 \text{ meV}$ و سوم $\Omega_3 = 10.82 \text{ meV}$ و پنجم $\Omega_5 = 7.23 \text{ meV}$ در دمای صفر درجه کلوین.....	۱۰۲
شکل (۱۴-۶): (الف): رسانندگی (ب): مشتق دوم جریان نسبت به ولتاژ برای مد فونونی اول $\Omega_1 = 12.77 \text{ meV}$	۱۰۲
شکل (۱۵-۶): رسانندگی برای هفت مد فونونی در دمای صفر درجه کلوین.....	۱۰۵

شکل (۶-۱۶): (الف): رسانندگی (ب): مشتق دوم جریان نسبت به ولتاژ برای مد فونونی اول

$$105 \dots \Omega_1 = 12/98 \text{ meV}$$

شکل (۶-۱۷): رسانندگی برای یازده مد فونونی در دمای صفر درجه کلوین

شکل (۶-۱۸): (الف): رسانندگی (ب): مشتق دوم جریان نسبت به ولتاژ برای مد فونونی اول

$$109 \dots \Omega_1 = 13/01 \text{ meV}$$

شکل (۶-۱۹): (الف) مدهای نرمال و انرژی ارتعاشی زنجیره ۵ اتمی با $K=2 \text{ [eV}/\text{\AA}^2]$

$$111 \dots K=4 \text{ [eV}/\text{\AA}^2]$$

شکل (۶-۲۰): (الف) مشخصه مشتق اول جریان نسبت به ولتاژ برای $K=2$ برای سه مد فونونی

$$112 \dots (b) \text{ مشخصه مشتق اول جریان نسبت به ولتاژ برای } K=4 \text{ برای سه مد فونونی}$$

شکل (۶-۲۱): (الف) رسانندگی برای $K=2$ ، (ب) رسانندگی برای $K=4$ ، خط نقطه چین رسانندگی

$$113 \dots \text{ برای زمانی که جفت شدگی الکترون-فونون نداریم}$$

شکل (۶-۲۲): (الف): مشتق دوم جریان نسبت به ولتاژ برای $K=2$ و یک مد فونونی $\Omega_1 = 12/7 \text{ meV}$

$$114 \dots (b) \text{ برای } k=4 \text{ و یک مد فونونی } \Omega_1 = 17/9 \text{ meV}$$

شکل (۶-۲۳): (الف): رسانندگی (ب): مشتق دوم جریان نسبت به ولتاژ برای مد فونونی اول

$$116 \dots \text{ در دمای } \Omega_1 = 12/38 \text{ meV} \text{ کلوین}$$

شکل (۶-۲۴): (الف): رسانندگی (ب): مشتق دوم جریان نسبت به ولتاژ برای مد فونونی اول

$$116 \dots \text{ در دمای } \Omega_1 = 12/38 \text{ meV} \text{ کلوین}$$

شکل (۶-۲۵): (الف): رسانندگی (ب): مشتق دوم جریان نسبت به ولتاژ برای مد فونونی اول

$$117 \dots \text{ در دمای } \Omega_1 = 12/38 \text{ meV} \text{ کلوین}$$

شکل (۶-۲۶): (الف): رسانندگی (ب): مشتق دوم جریان نسبت به ولتاژ برای مد فونونی اول

$$117 \dots \text{ در دمای } \Omega_1 = 12/38 \text{ meV} \text{ کلوین}$$

شکل (۶-۲۷): (الف): رسانندگی (ب): مشتق دوم جریان نسبت به ولتاژ برای مد فونونی اول

$$118 \dots \text{ در دمای } \Omega_1 = 12/38 \text{ meV} \text{ کلوین}$$

شکل (۶-۲۸): (الف): رسانندگی (ب): مشتق دوم جریان نسبت به ولتاژ برای مد فونونی اول

$$118 \dots \text{ در دمای } \Omega_1 = 12/38 \text{ meV} \text{ کلوین}$$

شكل (۲۹-۶): (الف): رسانندگی (ب): مشتق دوم جریان نسبت به ولتاژ برای مد فونونی اول

$$119 \dots \Omega_1 = 12/38 \text{ meV} \quad T=500 \text{ کلوین}$$

شكل (۳۰-۶): تک تراز مولکولی ساندویچ شده بین دو الکترود با $\epsilon_0 = 1$ الکترون ولت

$$120 \dots \Omega_1 = 12/38 \text{ meV} \quad \text{شكل (۳۱-۶): (الف): رسانندگی (ب): مشتق دوم جریان نسبت به ولتاژ برای مد فونونی اول}$$

$$121 \dots \Omega_1 = 12/38 \text{ meV} \quad \text{شكل (۳۲-۶): (الف): رسانندگی (ب): مشتق دوم جریان نسبت به ولتاژ برای مد فونونی دوم}$$

$$122 \dots \Omega_1 = 7/65 \text{ meV} \quad \text{شكل (۳۳-۶): (الف): رسانندگی (ب): مشتق دوم جریان نسبت به ولتاژ برای مد فونونی سوم}$$

$$122 \dots \Omega_1 = 4/02 \text{ meV} \quad \text{شكل (۳۴-۶): (الف): رسانندگی (ب): مشتق دوم جریان نسبت به ولتاژ برای مد فونونی چهارم}$$

$$124 \dots \Omega_1 = 12/38 \text{ meV} \quad \text{شكل (۳۵-۶): (الف): رسانندگی (ب): مشتق دوم جریان نسبت به ولتاژ برای مد فونونی اول}$$

$$124 \dots \Omega_1 = 10/53 \text{ meV} \quad \text{شكل (۳۶-۶): (الف): رسانندگی (ب): مشتق دوم جریان نسبت به ولتاژ برای مد فونونی دوم}$$

$$125 \dots \Omega_1 = 7/65 \text{ meV} \quad \text{شكل (۳۷-۶): (الف): رسانندگی (ب): مشتق دوم جریان نسبت به ولتاژ برای مد فونونی سوم}$$

$$125 \dots \Omega_1 = 4/02 \text{ meV} \quad \text{شكل (۳۸-۶): (الف): رسانندگی (ب): مشتق دوم جریان نسبت به ولتاژ برای مد فونونی چهارم}$$

$$129 \dots \Omega_1 = 216/74 \text{ meV} \quad \text{شكل (۳۹-۶): (الف): رسانندگی (ب): مشتق دوم جریان نسبت به ولتاژ برای مد فونونی اول}$$

فهرست جداول

جدول (۱-۱): پارامترهای مورد استفاده در مدل حاضر زنجیره اتمی طلا.....	۸۵
جدول (۲-۶): پارامترهای مورد استفاده در زنجیره اتمی طلا با ثابت فنر $K=2$	۹۲
جدول (۳-۶): نتایج عددی برای مطالعه زنجیره اتمی با طولهای متفاوت.....	۱۱۰
جدول (۴-۶): پارامترهای مورد استفاده در مدل زنجیره اتمی طلا با ثابت فنر ۴ و $K=2$	۱۱۲
جدول (۵-۶): پارامترهای مورد استفاده در زنجیره اتمی طلا با ثابت فنر $\Gamma_{L/R}=0/5$ و $\varepsilon_0=1$, $K=2$	۱۲۰

فصل اول

ترابرد کوانتمی براساس فرمول بندی

تابع گرین غیرتعادلی

۱-۱: مقدمه

برای بررسی چگونگی شارش جریان، اولین قدم در نظر گرفتن تراز انرژی در حال تعادل و چشم و چاهک با پتانسیل های شیمیایی (تراز فرمی) یکسان است. هنگامیکه یک منبع خارجی مانند یک باتری باعث ایجاد اختلاف در پتانسیل شیمیایی الکترودها (چشم و چاهک) شود و آنها را در دو پتانسیل شیمیایی متفاوت μ_1 و μ_2 نگه دارد، $V_D = \mu_1 - \mu_2$ کanal در یک حالت غیرتعادلی قرار می گیرد و جریان برقرار می شود. جریان عبوری از یک دستگاه کاملاً کوچک با یک تراز انرژی در محدوده انرژی مورد نظر، به آسانی محاسبه می شود و همانطور که انتظار داریم این جریان به کیفیت اتصال ها بستگی دارد. برای کانالی با یک تراز انرژی رسانندگی حداکثری وجود دارد، که یک ثابت اساسی است و بستگی به بار الکترون و ثابت پلانک دارد. (دادا^۱، ۲۰۰۵ و ۱۹۹۵)

$$G_0 \equiv \frac{q^2}{h} = 38.7 \mu\text{s} = (25.8k\Omega)^{-1} \quad (1-1)$$

کانال های کوچک با دو تراز انرژی (یکی اسپین بالا و دیگری اسپین پایین) یکسان (تراز های تبھگن) دارای رسانایی برابر با $2G_0$ هستند. اما اگر اتصال الکترودها نامناسب باشد، رسانایی کمتر از این خواهد بود. اما در هر حال، حد بالایی برای رسانایی وجود دارد که با کامل ترین الکترودها به دست می آید. برای اندازه گیری رسانایی در یک جسم بسیار کوچک باید دو الکترود را به آن متصل کنیم. تا اواخر قرن بیستم، هیچ گونه اطلاعی از نحوه اتصال الکترودها و اندازه گیری رسانایی یک جسم بسیار کوچک وجود نداشت. اما در نهایت طول رساناهای از $10\mu\text{m}$ در سال ۱۹۶۰ به $0.1\mu\text{m}$ در سال ۲۰۰۰ رسید و این کاهش اندازه در رساناهای طراحان و مهندسان این فرصت را داد تا بتوانند تعداد ترانزیستورهای داخل یک تراشه را ۱۰۰۰۰ برابر افزایش دهند که خود انقلابی در صنعت کامپیوتر بود. در ادامه فصل درباره چگونگی عبور الکترون ها در سیستم های مزو سکو پیک در حال تعادل بحث خواهیم کرد و مفاهیمی چون پهن شدگی تراز های انرژی، تابع گرین و طول عمر را بررسی می کنیم.

^۱ Datta

۲-۱: چگونگی شارش جریان

اگر چشم و چاهک به کانال متصل شوند (با $V_D = 0$)، الکترون‌ها در دمای متدال $T = 300k$ به داخل و خارج قطعه حرکت می‌کنند و سعی می‌کنند که با انرژی μ در تعادل باشند و در این حالت تعداد الکترون‌ها در هر تراز انرژی نوعاً یک عدد نیست و با تابع فرمی زیر داده می‌شود:

$$f_0(E - \mu) = \frac{1}{1 + \exp[(E - \mu)/K_B T]} \quad (2-1)$$

ترازهای انرژی زیر پتانسیل شیمیایی μ ، همیشه پر هستند و $f_0 = 1$ در حالیکه ترازهای انرژی بالاتر از μ همیشه خالی هستند و $f_0 = 0$. ترازهای انرژی با چند $K_B T$ بالاتر و پایین تر از μ گاهی پر و گاهی خالی هستند. بنابراین تعداد متوسط الکترون‌ها بین صفر تا یک است. توجه کنید که این عدد از یک تجاوز نمی‌کند زیرا طبق اصل طرد بیشتر از یک الکtron در هر تراز مجاز نیست.

برای نمایش چگونگی شارش جریان در یک مولکول، دستگاهی متصل به دو منبع، دو الکترود چشم^۱ و چاهک^۲ را در نظر می‌گیریم که در پتانسیل‌های شیمیایی (ترازهای فرمی) یکسان و در حالت تعادل با یکدیگر و با منبع قرار دارند. هنگامی که توسط یک منبع خارجی مانند باتری، اختلاف پتانسیل میان پتانسیل‌های شیمیایی μ_1 و μ_2 در دو الکترود ایجاد شود، حالت تعادل بین کانال و الکترودها از بین می‌رود. در واقع باتری ترازهای انرژی در چاهک را نسبت به ترازهای انرژی چشم جا به جا کرده و پایین‌تر می‌آورد و اختلاف پتانسیلی بین این دو وضع ایجاد می‌کند، $qV = (\mu_1 - \mu_2)$ و این موضوع منجر به ایجاد توابع فرمی متفاوت می‌شود، شکل (۱).

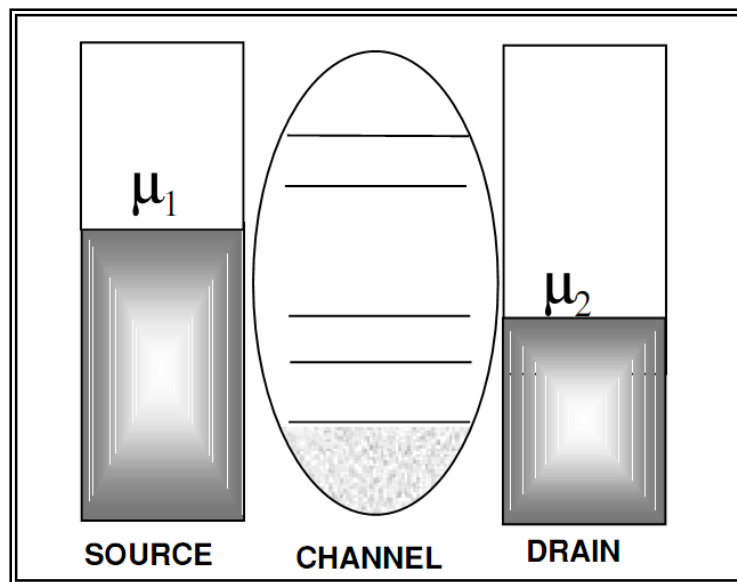
$$f_1(\varepsilon) = \frac{1}{1 + \exp\left(\frac{\varepsilon - \mu_1}{K_b T}\right)} \equiv f_0(E - \mu_1) \quad (3-1)$$

$$f_2(\varepsilon) = \frac{1}{1 + \exp\left(\frac{\varepsilon - \mu_2}{K_b T}\right)} \equiv f_0(E - \mu_2) \quad (4-1)$$

¹ Source

² Drain

هر کدام از الکترودها سعی می‌کند که دستگاه را به حالت تعادل با خود در آورد. الکترود چشم، الکترون‌ها را به داخل کانال می‌فرستد و الکترود چاهک برای رسیدن به تعادل با کانال، الکترون‌ها را بیرون می‌کشد و کانال در حالتی غیرتعادلی بین این دو منبع قرار می‌گیرد. کانالی با یک تراز، متصل بین دو منبع که در پتانسیل‌های متفاوت قرار دارند و تراز انرژی ϵ آن بین این دو پتانسیل قرار دارد، شکل (۱-۱)، در نظر می‌گیریم. چشم، تعداد $f_1(\epsilon)$ الکtron را مشاهده می‌کند و الکترود چاهک تعداد $f_2(\epsilon)$ الکtron را می‌بیند که ترازها را اشغال کرده‌اند. $(\epsilon)_1 f_1$ و $(\epsilon)_2 f_2$ توابع فرمی در دو الکترود هستند و تعداد متوسط الکترون‌ها در حالت تعادل پایدار و مقداری بین $f_1(\epsilon)$ و $f_2(\epsilon)$ است.



شکل (۱-۱): ولتاژ بایاس اعمالی به سیستم پتانسیل شیمیایی در چاهک را نسبت به چشم پایین می‌آورد.

شار خالص I_1 که از الکترود چپ در جریان است، متناسب با $(f_1 - N)$ است.

$$I_1 = \frac{q\gamma_1}{\hbar} (f_1 - N) \quad (5-1)$$

بار هر الکtron، $-q$ ، است.

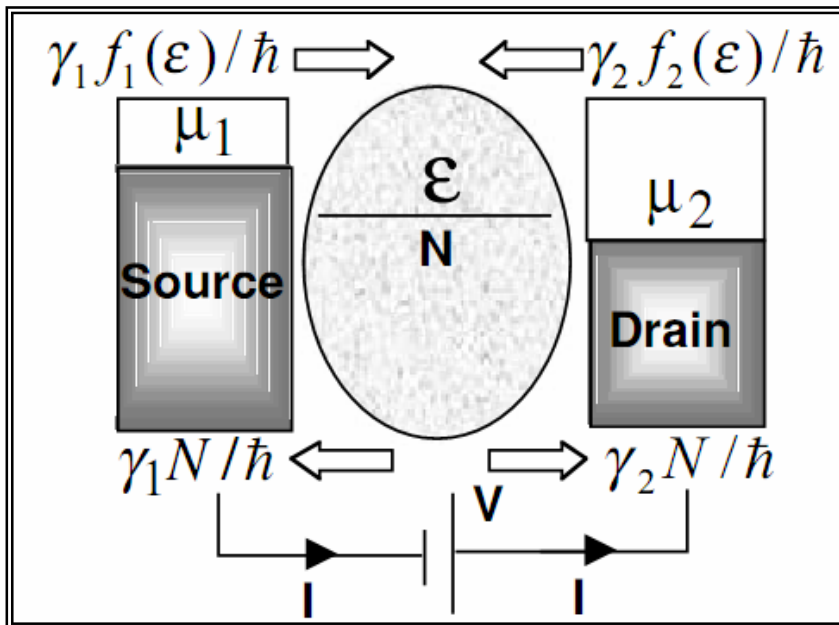
به طور مشابه جریان I_2 از سمت راست در جریان است و متناسب است با:

$$I_2 = \frac{q\gamma_2}{\hbar} (f_2 - N) \quad (6-1)$$

الکترونی که در تراز ϵ قرار دارد، از چشمی و چاهک به ترتیب با سرعت‌های γ_1/\hbar و γ_2/\hbar فرار می‌کند. γ_1 و γ_2 دارای بعد انرژی هستند. شکل (۲-۱)

در حالت تعادل، هیچ جریان ورودی و خروجی به داخل کانال وجود ندارد و $I_1 + I_2 = 0$ است. $3N$ عدد اشغال، تعداد الکترون‌هایی است که هر کدام از الکترودها آن را می‌بیند:

$$N = \frac{\gamma_1 f_1(\epsilon) / \hbar + \gamma_2 f_2(\epsilon) / \hbar}{\gamma_1 + \gamma_2} \quad (7-1)$$



شکل (۲-۱): شارش الکtron به داخل و خارج کانال تک ترازی متصل به چشمی و چاهک. تصویر ساده‌ای از رابطه سرعت.

و جریان در حالت تعادل برابر است با

$$I_1 = I_2 = \frac{q}{\hbar} \frac{\gamma_1 \gamma_2}{\gamma_1 + \gamma_2} [f_1(\epsilon) - f_2(\epsilon)] \quad (8-1)$$

که این مقدار برای حالتی با دو اسپین، دو برابر می‌شود.

این نتایج، حقایقی ساده درباره فرآیند شارش جریان را به تصویر می‌کشند. اول اینکه، هنگامیکه $f_1(\varepsilon) = f_2(\varepsilon)$ هیچ جریانی وجود ندارد. ترازی با انرژی پایین‌تر از μ_1 و μ_2 ، سهمی در جریان ندارد. زیرا $f_1(\varepsilon) = f_2(\varepsilon) = 1$ و تراز با انرژی بالاتر نیز سهمی ندارد. زیرا $f_1(\varepsilon) = f_2(\varepsilon) = 0$. تنها هنگامی که تراز انرژی در کanal، چند $K_b T$ بالاتر یا پایین‌تر از μ_1 و μ_2 ، قرار داشته باشد و $f_1(\varepsilon) \neq f_2(\varepsilon)$ ، شاهد شارش جریان خواهیم بود.

الکترود چشمی سعی می‌کند که الکترون‌ها به داخل کanal پمپ کرده و تعداد آنها را از N به f_1 برساند، در حالیکه الکترود چاهک الکترون‌ها را به بیرون از کanal کشیده تا تعداد آنها را به f_2 برساند و نتیجه این فرآیند، ترابرد پیوسته الکترون‌ها از چشمی به چاهک است.

۱-۳: جنبه کوانتومی رسانش

کanalی را در نظر می‌گیریم که ولتاژ کوچکی به آن اعمال می‌شود و باعث اختلاف میان پتانسیل‌های شیمیایی چشمی و چاهک می‌شود (شکل ۱-۳). جریان عبوری در این دستگاه از رابطه (۱-۸) به دست می‌آید. با فرض $\mu_2 < \varepsilon < \mu_1$ و دمای به اندازه کافی پایین داریم، $f_1(\varepsilon) \equiv f_0(E - \mu_1) \approx 1$ و $f_2(\varepsilon) \equiv f_0(E - \mu_2) \approx 0$. اگر $\gamma_1 = \gamma_2$

$$I = \frac{q}{\hbar} \frac{\gamma_1 \gamma_2}{\gamma_1 + \gamma_2} = \frac{q \gamma_1}{2 \hbar} \quad (9-1)$$

به همین دلیل می‌توانیم جریان نامحدودی را در این کanal با افزایش $(\gamma_2 - \gamma_1)$ وارد کنیم که این کار با جفت شدگی هر چه قوی‌تر الکتروودها با کanal میسر است. هر چند که یکی از نتایج اصلی فیزیک مزوسکوپیک رسانایی حداکثر G_0 در کanal تک ترازی است اما نکته‌ای که نباید فراموش شود پهن شدگی ترازهای انرژی است که از نتایج اجتناب ناپذیر جفت شدگی کanal با الکتروودها است. این موضوع باعث می‌شود که قسمتی از تراز انرژی به خارج از محدوده انرژی میان μ_1 و μ_2 که جریان در آن شارش دارد نفوذ کند. به این ترتیب جریان واقعی نسبت به مقداری که در رابطه (۹-۱) وجود دارد با ضریب $(\mu_1 - \mu_2)/C\gamma_1$ که کسری از تراز است که در پنجره میان μ_1 و μ_2 قرار می‌گیرد کاهش می‌یابد. $C\gamma_1$ عرض مؤثر تراز است و C یک مقدار عددی ثابت است. از آنجائیکه